

УДК 535.37 : 548.0

**РЕЗОНАНСНОЕ ПЛЕНЕНИЕ
АКУСТИЧЕСКИХ ФОНОНОВ 29 см^{-1}
В ОПТИЧЕСКИ ВОЗБУЖДЕННОМ РУБИНЕ
В СИЛЬНОМ ВНЕШНЕМ МАГНИТНОМ ПОЛЕ**

В. Л. Шехтман, А. Ф. Якубов

Рассмотрена теория многократного резонансного рассеяния фононов 29 см^{-1} в оптически возбужденном рубине в сильном внешнем магнитном поле. Обсуждены разнообразные механизмы пленения фононов 29 см^{-1} с учетом их многократного резонансного комбинационного рассеяния на зеемановски расщепленных 2E (\bar{E} , $2\bar{A}$) уровнях ионов Cr^{3+} . Особое внимание уделяется спектральной диффузии фононов, обусловленной локальными магнитными полями. Результаты сопоставляются с данными опыта.

Влияние внешнего магнитного поля на пленение резонансных фононов 29 см^{-1} в оптически возбужденном объеме кристаллов рубина представляет большой интерес [1]. Зеемановское расщепление \bar{E} - и $2\bar{A}$ -уровней ионов Cr^{3+} приводит к расплыванию резонанса. Кроме того, возникает неупругое рассеяние фононов на $\bar{E} \rightleftharpoons 2\bar{A}$ переходах — резонансное комбинационное рассеяние (РКР), которое меняет характер пленения фононов. В достаточно сильном магнитном поле ($H \geq 3 \text{ кЭ}$) спектральное распределение плененных фононов представляет квартет резонансов, соответствующих $2\bar{A}_{\pm} - \bar{E}_{\pm}$ переходам с переворотом и без переворота спина (рис. 1). Вследствие многократного РКР интенсивности этих резонансов выравниваются [2, 3]. В этой ситуации выход фононов из возбужденного объема происходит главным образом за счет «флип—спин» фононов, так как они имеют большую длину свободного пробега. Убыль этих фононов на самом деле происходит в приповерхностном слое объема, она компенсируется перекачкой «нонфлип—спин» фононов в актах так называемого «обменного» РКР.

Данная работа посвящена теоретическому исследованию пленения фононов 29 см^{-1} в описанной ситуации сильного магнитного поля.

**1. Компенсированная пространственная
диффузия**

В стационарных опытах степень пленения характеризуется средним числом M актов перерассеяния фононов за время их пребывания в активном объеме пленения; это число («фактор пленения») будет предметом наших расчетов. Величина M выражается через спектральную плотность фононов $\rho(\omega)$ [4]

$$M = \Gamma \int \rho(\omega) \sigma(\omega) d\omega, \quad (1)$$

где $\sigma(\omega)$ — сечение резонансного рассеяния, Γ^{-1} — время жизни $2\bar{A}$ уровня. Воспользуемся уравнением для $\rho(\omega)$, которое следует из полученного в работе [4] уравнения для $\Phi(\omega) = \rho(\omega) \sigma(\omega)$,

$$\rho(\omega) = \left[\sigma_{\text{РКР}}(\omega) + \frac{\sigma(\omega)}{M_{el}(\omega)} \right] = \int \rho(\omega') \sigma_{\text{РКР}}(\omega', \omega) d\omega' + \frac{1}{\Gamma} I(\omega), \quad (2)$$

где $\sigma_{\text{РКР}}(\omega)$ — сечение РКР; $M_{el}(\omega)$ — среднее число перерасеяний в случае чисто упругого рассеяния; $I(\omega)$ — нормированный спектр спон-

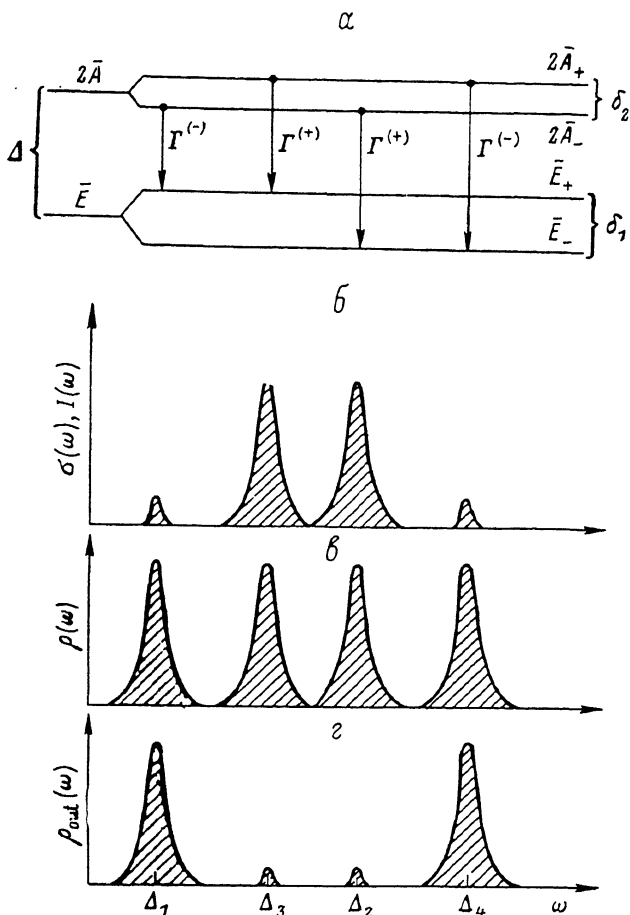


Рис. 1. Зеемановское расщепление ${}^2E(\bar{E}, 2\bar{A})$ уровней ионов Cr^{3+} в рубине (а); фактор эффективного сечения резонансного рассеяния и спонтанного излучения фононов 29 см^{-1} (б); спектральное распределение плененных фононов в сильном внешнем магнитном поле (в); самообращение спектра фононов, испускаемых из оптически возбужденного объема (качественно) (г).

танного излучения фононов при $2\bar{A} \rightarrow \bar{E}$ распада. Спектральная плотность сечения РКР — величина $\sigma_{\text{РКР}}(\omega', \omega)$ в (2) — имеет вид [3]

$$\sigma_{\text{РКР}}(\omega', \omega) = \nu_- \sigma_{-+}(\omega') \delta(\omega' - \omega - \delta_1) + \nu_+ \sigma_{+-}(\omega') \delta(\omega - \omega' - \delta_1), \quad (3)$$

где σ_{-+} , σ_{+-} — парциальные сечения РКР (см. [3]); ν_+ , ν_- — заселенности \bar{E}_+ и \bar{E}_- подуровней; δ_1 — величина расщепления \bar{E} уровня. Соотношения (2), (3) приводят к бесконечной цепочке разностных уравнений при каждом фиксированном значении частоты фонона ω

$$\rho(\omega + \delta_1) \nu_- \sigma_{-+}(\omega + \delta_1) + \rho(\omega - \delta_1) \nu_+ \sigma_{+-}(\omega - \delta_1) - \rho(\omega) \left[\nu_- \sigma_{-+}(\omega) + \nu_+ \sigma_{+-}(\omega) + \frac{\sigma(\omega)}{M_{el}(\omega)} \right] + \frac{1}{\Gamma} I(\omega) = 0. \quad (4)$$

В достаточно сильном магнитном поле функция $\rho(\omega)$ представляет собой сумму четырех неперекрывающихся компонент, соответствующих квартету резонансных переходов ${}^2E(\bar{E}, 2\bar{A})$ (рис. 1). В пренебрежении

«внерезонансным» РКР вместо бесконечной цепочки (4) получаются две пары уравнений (см. ниже (8а), (8б)), решение которых дает при $\nu_- = \nu_+ = 1/2$

$$M = \frac{3}{32} \frac{\Gamma^{(-)}\Gamma^{(+)}}{\Gamma^2} (Lk_0)^2 \sim N^{*2}. \quad (5)$$

Этот результат получен при условии многократности РКР, т. е. $Lk_0 (\Gamma^-/\Gamma) \gg 1$, где L — эффективный диаметр объема (в смысле [4]), $k_0 = N^* \sigma_0$, σ_0 — сечение в максимуме резонанса $\sigma_0 \approx 10^{-13}$ см² при $H_{\text{ext}} = 0$, N^* — концентрация ионов Cr^{3+} в \bar{E} -состоянии, $\Gamma^{(\pm)}$ — вероятности

$2\bar{A} - \bar{E}$ переходов с переворотом и без переворота спина.

Соотношение (5) получено впервые; оно показывает, что, несмотря на многократные неупругие процессы РКР, в данном случае имеет место характерная для пространственной диффузии фононов квадратичная зависимость M от Lk_0 , а следовательно, и от N^* , однако она очень полого из-за малости фактора $\Gamma^{(-)}\Gamma^{(+)}/4\Gamma^2 = 1/80$.

На основе (4) было получено более точное, но и более сложное, чем (5), выражение для числа M , которое мы запишем для сравнения с опытом, используя безразмерный параметр $x = Lk_0 \Gamma^{(-)}/2\Gamma \approx Lk_0/40$,

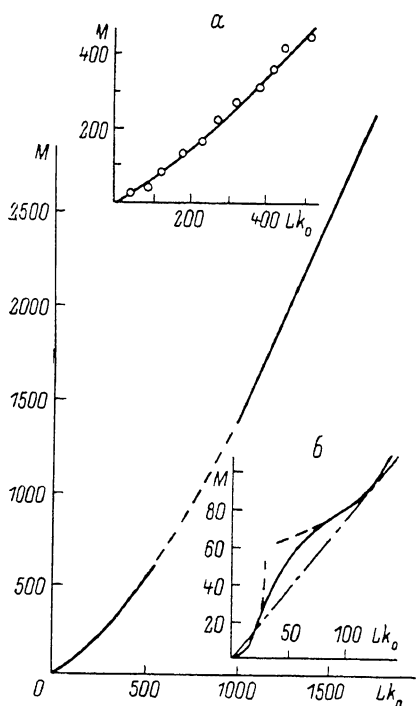


Рис. 2. Фактор пленения фононов M в зависимости от параметра Lk_0 при напряженности магнитного поля $H_{\text{ext}} = 3.5$ кЭ.

а — данные опыта [3] (точки), б — ход $M(Lk_0)$ в области слабого пленения при различных граничных условиях (см. текст).

$$M = \frac{\Gamma^{(+)}}{\Gamma^{(-)}} \left\{ \frac{3}{2^5} x^2 + \frac{3}{4\alpha} x - \frac{H_0^2}{H^2} x^2 \left[\frac{5}{2^8} x^2 - \frac{9}{2^8 \alpha} x + \frac{9}{8\alpha^2} \right] \right\}. \quad (6)$$

Здесь

$$H_0 = \frac{\hbar c \Delta \nu}{2g_1 \mu_B} \left[2 + 2 \left(\frac{g_1}{g_2} \right)^2 + \left(\frac{g_1}{g_1 - g_2} \right)^2 + \left(\frac{g_1}{g_1 + g_2} \right)^2 \right]^{1/2} \approx 200 \text{ Э}, \quad (7)$$

где $\Delta \nu = 0.012$ см⁻¹ — ширина $\bar{E} - 2\bar{A}$ линии; g_1, g_2 — g -факторы \bar{E} и $2\bar{A}$ уровней. Выражение (6) отличается от (5). Во-первых, оно учитывает асимптотическое влияние внерезонансного РКР [3] ($\sim H^{-2}$), а во-вторых, возможность частичного отражения фононов от границы внутрь возбужденного объема, что достигается выбором M_{ei} в виде [4]

$$M_{ei} = L^2 k^2 (\omega)/4 + 3Lk (\omega)/2\alpha,$$

где α — коэффициент граничного условия. При сравнении с опытом [3] в поле $H_{\text{ext}} = 3.5$ кЭ мы воспользовались значением $\alpha = 0.6$, взятым из этой же работы [3] (рис. 2, а).

Как известно [3], при слабом пленении, когда РКР несущественно, сильное поле уменьшает M в четыре раза. Эффект же обменного РКР, как следует из (5), проявляется в 20-кратном ускорении диффузии. Отсюда следует, что в области $M = 50 \div 100$ в зависимости M от N^* должен бы наблюдаться сглаженный излом: переход от крутой квадратичной зависи-

мости к пологой. Теоретически это имеет место для граничных условий Дирихле: $\alpha \rightarrow \infty$ (сплошная кривая на рис. 2, б). Однако при $\alpha \approx 1$ этот излом почти не заметен (штрихпунктирная линия на рис. 2, б).

2. Влияние спектральной диффузии

В данном разделе учтено влияние локальных магнитных полей на пленение фононов. Локальные поля приводят к спектральной диффузии [2], однако ее микромеханизм в случае сильного внешнего магнитного поля имеет свою специфику. В отличие от нулевого внешнего поля [2-4] стохастический характер локальных полей $H_{loc} \approx 10$ Э [5] является принципиальным, так как флуктуации изменения частоты фононов 29 см^{-1} в актах РКР связаны с флуктуациями зеемановского расщепления \bar{E} -уровня. Неудивительно поэтому, что результаты расчета фактора пленения M (см. ниже формулы (12), (13)) заметно отличаются от предшествующей работы [4], где предполагалось, что $H_{ext} = 0$. Кроме того, рассматриваемый механизм пленения действителен при довольно большой концентрации $N^* \geq 10^{17} \text{ см}^{-3}$.

Приведем спектрально-диффузионные уравнения для фононных функций ρ_1 и ρ_2 , центрированных на резонансных частотах $\Delta_1 = \Delta - (\delta_1 + \delta_2)/2$ и $\Delta_2 = \Delta + (\delta_1 - \delta_2)/2$ (рис. 1)

$$\frac{\Gamma^{(-)}\Gamma^{(+)}}{\Gamma^2} \mathcal{J}(\Omega) [\nu_{-\rho_2}(\Omega) - \nu_{+\rho_1}(\Omega)] - \gamma_1(\Omega) \rho_1(\Omega) + G_1(\Omega) = 0, \quad (8a)$$

$$\frac{\Gamma^{(-)}\Gamma^{(+)}}{\Gamma^2} \mathcal{J}(\Omega) [\nu_{+\rho_1}(\Omega) - \nu_{-\rho_2}(\Omega)] - \gamma_2(\Omega) \rho_2(\Omega) + G_2(\Omega) = 0. \quad (8б)$$

Здесь частота Ω отсчитывается (в единицах $\Gamma/2$) от центра линии, так что

$$\rho_{1,2}(\Omega) = \rho_{1,2}(\omega) \Big|_{\omega=\Delta_{1,2}+\Omega \frac{\Gamma}{2}}$$

лоренцевский форм-фактор $\mathcal{J}(\Omega) = (1 + \Omega^2)^{-1}$. Величины $\gamma_{1,2}(\Omega)$ имеют следующий смысл:

$$\gamma_1(\Omega) = M_{el}^{-1} \left(\Delta_1 + \Omega \frac{\Gamma}{2} \right) \frac{\sigma \left(\Delta_1 + \Omega \frac{\Gamma}{2} \right)}{\sigma_0} = \left[\frac{L^2 k_0^2}{4} \nu_+ \frac{\Gamma^{(-)}}{\Gamma} \mathcal{J}(\Omega) \right]^{-1}, \quad (9a)$$

$$\gamma_2(\Omega) = M_{el}^{-1} \left(\Delta_2 + \Omega \frac{\Gamma}{2} \right) \frac{\sigma \left(\Delta_2 + \Omega \frac{\Gamma}{2} \right)}{\sigma_0} = \left[\frac{L^2 k_0^2}{4} \nu_- \frac{\Gamma^{(+)}}{\Gamma} \mathcal{J}(\Omega) \right]^{-1}. \quad (9б)$$

Члены $G_1(\Omega)$ и $G_2(\Omega)$ в уравнениях (8а), (8б) имеют вид¹

$$G_1(\Omega) = \frac{1}{\Gamma \tau_0} I \left(\Delta_1 + \Omega \frac{\Gamma}{2} \right) + 2 \frac{\Gamma^{(-)}\Gamma^{(+)}}{\Gamma^2} \nu_- \frac{\delta_{loc}^2}{\Gamma^2} \frac{d}{d\Omega} \left(\mathcal{J}(\Omega) \frac{d}{d\Omega} \rho_2(\Omega) \right), \quad (10a)$$

$$G_2(\Omega) = \frac{1}{\Gamma \tau_0} I \left(\Delta_2 + \Omega \frac{\Gamma}{2} \right) + 2 \frac{\Gamma^{(-)}\Gamma^{(+)}}{\Gamma^2} \nu_+ \frac{\delta_{loc}^2}{\Gamma^2} \frac{d}{d\Omega} \left(\mathcal{J}(\Omega) \frac{d}{d\Omega} \rho_1(\Omega) \right), \quad (10б)$$

где δ_{loc}^2 — дисперсия зеемановского расщепления \bar{E} -уровня полем H_{loc} , $\delta_{loc} \approx 0.1 \Gamma = 10^{-3} \text{ см}^{-1}$. При многократном РКР, когда $Lk_0 (\Gamma^{(-)}/\Gamma) \gg 1$, в широком спектральном интервале $|\Omega| \gg \Gamma$ справедливо соотношение

$$\nu_{+\rho_1}(\Omega) = \nu_{-\rho_2}(\Omega). \quad (11)$$

При этом система уравнений (8) решается и при асимптотическом условии

¹ Формула (5) получена из (8а), (8б) в пренебрежении спектральной диффузией, т. е. при $\delta_{loc} = 0$ и отсутствии дифференциальных членов в (10а), (10б). По нашим оценкам, переходной областью между пространственной и спектральной диффузией в условиях опытов [3] является $N^* \approx 10^{17} \text{ см}^{-3}$ при $H_{ext} = 3.5 \text{ кЭ}$.

$$Lk_0 \frac{\Gamma^{(-)}}{\Gamma} \frac{\delta_{10c}}{\Gamma} \gg 1$$

получаем

$$M = \frac{\pi}{16} \frac{\Gamma}{\delta_{10c}} Lk_0 \sim N^*. \quad (12)$$

Обращает на себя внимание отсутствие в (12) характеризующего сечения РКР коэффициента $\Gamma^{(-)}\Gamma^{(+)}/\Gamma^2$ в отличие от [4]. Это объясняется, как видно из более общей формулы (13), тем, что, с одной стороны, при его возрастании возрастает темп спектральной диффузии, а также темп перекачки фононов между «флип—спин» и «нонфлип—спин» резонансами. Это привело бы к уменьшению числа M . С другой стороны, при этом уменьшилась бы длина свободного пробега «флип—спин» фононов, что привело бы к усилению пленения. Очевидно, эти противоположные тенденции компенсируют друг друга и M в (12) не зависит от коэффициента $\Gamma^{(-)}\Gamma^{(+)}/\Gamma^2$, если последний не слишком мал.

Однако величина $\Gamma^{(-)}\Gamma^{(+)}/\Gamma^2$ является микропараметром, поэтому с феноменологической точки зрения наиболее важным проявлением спектральной диффузии является асимптотически линейная зависимость фактора пленения M в (12) от N^* , что априори не очевидно. По крайней мере к такому выводу трудно прийти в обход сложных уравнений (8а), (8б). Для сравнения с опытом мы пользовались выражением

$$M = \frac{\pi}{4} \frac{\Gamma}{\delta_{10c}} \frac{\Gamma}{\sqrt{\Gamma^{(-)}\Gamma^{(+)}}} \left[\frac{L^2 k_0^2}{16} \frac{\Gamma^{(-)}\Gamma^{(+)}}{\Gamma^2} + \frac{3}{4\alpha} Lk_0 \right]^{1/2} \left[1 + \frac{\Gamma^{(-)}}{\Gamma} \left(\frac{L^2 k_0^2}{16} \frac{\Gamma^{(-)}\Gamma^{(+)}}{\Gamma^2} + \frac{3}{4\alpha} Lk_0 \right) \right]^{-1/2}, \quad (13)$$

которое уточняет (12) путем выбора более общих граничных условий.

На опыте [6] при $H_{ext} \simeq 6$ кЭ и в широком диапазоне $N^* \geq 10^{17}$ см⁻³ действительно наблюдалась линейная зависимость M (N^*), что согласуется с полученными результатами (12), (13) (рис. 2).

3. Анизотропное пленение

Анизотропные свойства пленения фононов 29 см⁻¹ исследовались в работах [7-9], результаты которых представлены в обзоре [1]. В данном разделе впервые рассмотрено влияние спектральной диффузии на анизотропность пленения, в частности в сильном магнитном поле, что необходимо для количественного сравнения с опытом. Обозначим через M_{\parallel} и M_{\perp} фактор пленения M для различных ориентаций лазерного луча: параллельно и перпендикулярно оси C_3 кристалла. Согласно [9], при упругом рассеянии $M_{el}(\omega)$ равно

$$M_{\parallel}(\omega) = \frac{L^2 k^2(\omega)}{4}, \quad M_{\perp}(\omega) = \frac{4}{3\pi^2 \chi_{\parallel}} \frac{L^2 k^2(\omega)}{\ln(Lk(\omega)/\pi)}. \quad (14)$$

Коэффициент $\chi_{\parallel} < 1$ учитывает частичную трансформацию фононов в продольную моду при резонансном рассеянии. Причиной анизотропии M является запрет резонансного взаимодействия продольных фононов $q \parallel C_3$ [1].

Рассмотрим сначала случай нулевого внешнего магнитного поля. Тогда пленение с учетом спектральной диффузии описывается уравнением (П. 1) из Приложения, в котором в качестве $M_{el}(\omega)$ следует взять (14). Асимптотика M дается формулой (П. 5), откуда

$$M_{\parallel} = \frac{\pi}{8} \frac{\Gamma}{\delta_{10c}} \frac{\Gamma}{\sqrt{\Gamma^{(-)}\Gamma^{(+)}}} Lk_0, \quad M_{\perp} = \frac{1}{2\sqrt{3}\chi_{\parallel}} \frac{\Gamma}{\delta_{10c}} \frac{\Gamma}{\sqrt{\Gamma^{(-)}\Gamma^{(+)}}} \frac{Lk_0}{\sqrt{\ln(Lk_0/\pi)}}. \quad (15)$$

Отсюда анизотропный эффект

$$\frac{M_{\parallel}}{M_{\perp}} = \frac{\pi\sqrt{3}\chi_{\parallel}}{4} \sqrt{\ln \frac{Lk_0}{\pi}}. \quad (16)$$

Этот результат в широкой области изменения Lk_0 согласуется с опытом [7] (кривая 1 на рис. 3), если положить $\alpha_{\parallel} \approx 0.35$, что представляется реалистической оценкой квантового выхода рассеяния продольных фононов.

Обратимся теперь к случаю сильного внешнего магнитного поля. В области, где спектральная диффузия еще не существенна ($Lk_0 < 500$), можно воспользоваться формулой (П. 8). С учетом (14) имеем

$$M_{\parallel}(\omega) = \frac{L^2 k^2(\omega)}{16} \frac{\Gamma^{(-)} \Gamma^{(+)}}{\Gamma^2}, \quad M_{\perp}(\omega) = \frac{1}{3\pi^2 \alpha_{\parallel}} \frac{\Gamma^{(-)} \Gamma^{(+)}}{\Gamma^2} \frac{L^2 k^2(\omega)}{\ln\left(\frac{Lk(\omega)}{\pi} \frac{\Gamma^{(-)}}{\Gamma}\right)}. \quad (17)$$

В области $Lk_0 > 10^3$ следует пользоваться формулой (П. 7), асимптотически учитывающей спектральную диффузию

$$M_{\parallel} = \frac{\pi}{16} \frac{\Gamma}{\delta_{10c}} Lk_0, \quad M_{\perp} = \frac{1}{4\sqrt{3}\alpha_{\parallel}} \frac{\Gamma}{\delta_{10c}} \frac{Lk_0}{\sqrt{\ln\left(\frac{Lk(\omega)}{\pi} \frac{\Gamma^{(-)}}{\Gamma}\right)}}. \quad (18)$$

Обращает на себя внимание тот факт, что отношение M_{\parallel}/M_{\perp} в сильном поле оказывается немонотонно зависящим от Lk_0 , т. е. от N^* (кривая 2

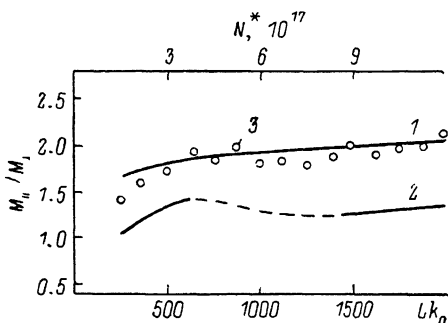


Рис. 3. Зависимость отношения M_{\parallel}/M_{\perp} от Lk_0 , характеризующая анизотропность пленения.

1 — $H_{\text{ext}}=0$, 2 — 4 кЭ, 3 — данные опыта (рис. 1 в [7]) при $H_{\text{ext}}=0$; значение $Lk_0=2 \cdot 10^3$ соответствует половинной мощности лазера в [7].

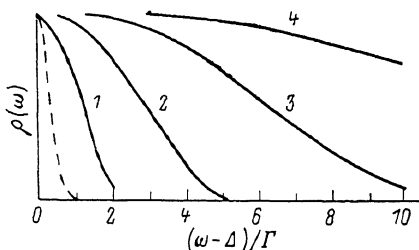


Рис. 4. Среднее по объему спектральное распределение плененных фононов $\rho(\omega)$ при различных значениях параметра q , характеризующего темп спектральной диффузии: 10^{-1} (1), 10^{-2} (2), 10^{-3} (3), 10^{-4} (4).

Штрихи — $\rho(\omega)$ в отсутствие спектральной диффузии. Для простоты вычислений при наличии спектральной диффузии полагалось $I_0(\infty) = \delta(\infty)$, что соответствует монохроматической генерации фононов в центре линии. С целью наглядности все кривые нормированы к одному значению в центре резонанса.

на рис. 3). Ход M_{\parallel}/M_{\perp} в переходной области $Lk_0=500 \div 1000$ показан на рис. 3 качественно (штрихи). В сильном магнитном поле анизотропия фактора пленения M менее выражена из-за малого множителя $\Gamma^{(-)}/2\Gamma \approx \approx 1/40$ под знаком логарифма. Однако наличие анизотропии пленения в сильном магнитном поле, когда снимается вырождение \bar{E} - и $2\bar{A}$ -уровней, свидетельствует в пользу физической интерпретации этого явления в работах [7, 8], соответствующей правилам отбора для резонансного взаимодействия фононов с ${}^2E(\bar{E}, 2\bar{A})$ уровнями Cr^{3+} [1].

4. О диссипативном пленении

В обзорах [1, 6] обсуждается ситуация, в которой фононы оказываются полностью запертыми в возбужденном объеме в силу их ангармонического распада или неупругого рассеяния на дефектах. Спектральный фактор пленения в этом случае, очевидно, равен $M(\omega) = \tau_p / \tau_{\text{res}}(\omega)$, где τ_p — ангармоническое или иной природы необратимое время распада фононов из моды 29 см^{-1} , $\tau_{\text{res}}(\omega) = [vk(\omega)]^{-1}$ — время свободного пробега по отношению к упругому резонансному рассеянию. Таким образом, получа-

ется линейная зависимость $M \sim N^*$, поскольку $k(\omega) = N^* \sigma(\omega)$. Однако, вообще говоря, необходимо учесть локальные магнитные поля [5] и связанную с ними спектральную диффузию, тем более что все это представляет интерес при уже достаточно больших концентрациях N^* . Используя формулу (П. 5) Приложения, получаем при $H_{\text{ext}} = 0$

$$M = \frac{\pi}{4} \frac{\Gamma}{\delta_{10c}} \frac{\Gamma}{\sqrt{\Gamma^{(-)}\Gamma^{(+)}}} \sqrt{\tau_p \nu k_0} \sim \sqrt{N^*}. \quad (19)$$

Эффект поля (с учетом РКР) приводит в данном случае, как это следует из (П. 7), просто к уменьшению M в два раза.

Из формулы (19) мы видим, что вместо линейной зависимости M от N^* оказывается корневой, что приблизительно и следовало ожидать вследствие спектральной диффузии. Этот результат является новым и важным для выяснения физического механизма пленения. Теперь мы видим, что наблюдаемая на опыте [1, 6] линейная зависимость степени пленения от N^* скорее отвергает, чем подтверждает, существенную диссипацию фононов из моды 29 см^{-1} . С другой стороны, подтверждается действительность совместного механизма пространственной и спектральной диффузии, который мы обсуждали в разделе 2, что согласуется с [1, 6].

Итак, в достаточно сильном магнитном поле неупругие процессы РКР фононов на квартете состояний ${}^2E(\bar{E}, 2\bar{A})$ можно разделить на два вида [3], а именно «внерезонансное» и «обменное» РКР. В данной работе мы называли «сильными» такие поля, при которых внерезонансным РКР в первом приближении можно пренебречь. Согласно данным [3], это справедливо, если $H \geq 3 \text{ кЭ}$. Результаты работы, однако, не претендуют на описание асимптотического поведения пленения фононов 29 см^{-1} в предельно сильных полях [10]. Во-первых, уже при $H \geq 6 \text{ кЭ}$ заселенности ν_- , ν_+ могут отличаться по величине вследствие сильного зеемановского расщепления основного 4A_2 состояния и спиновой памяти. В работе [3] было дано в краткой форме обсуждение спиновой релаксации \bar{E} -уровня в условиях пленения неравновесных фононов. Следует также иметь в виду возможное влияние поля на неупругое рассеяние фононов на возбужденных состояниях обменно-связанных парах четвертых соседей. Это рассеяние ограничивает степень пленения с ростом N^* [1].

Таким образом, область применимости результатов, полученных в данной работе, можно оценить интервалом напряженности магнитного поля $3 \text{ кЭ} < H_{\text{ext}} < 6 \text{ кЭ}$ и не слишком высокой концентрацией N^* .

Авторы признательны А. А. Каплянскому за полезные замечания и рецензенту за несколько замечаний общего характера, которые также способствовали более четкому изложению результатов.

П Р И Л О Ж Е Н И Е

К п р о б л е м е с п е к т р а л ь н о й д и ф ф у з и и ф о н о н о в 29 см^{-1}

Цель этого дополнительного раздела заключается в том, чтобы найти асимптотику числа M в условиях спектральной диффузии в достаточно общем случае, когда точное решение задачи отсутствует. Полученные результаты существенно используются в основном тексте работы.

Предположим вначале, что $H_{\text{ext}} = 0$. Обозначим

$$\mathcal{J}(\Omega) = (1 + \Omega^2)^{-1}, \quad I_0 = \frac{2}{\pi\Gamma} \mathcal{J}, \quad \Omega = \frac{\omega - \Delta}{\Gamma/2}, \quad a^2 = \frac{\Gamma^2}{4\delta_{10c}^2} \frac{\Gamma^2}{\Gamma^{(-)}\Gamma^{(+)}}.$$

Уравнение (2) при $\delta_{10c} \ll \Gamma$ приводит к

$$\frac{d}{d\Omega} \left(\mathcal{J}(\Omega) \frac{d}{d\Omega} \rho(\Omega) \right) - a^2 \frac{\mathcal{J}(\Omega)}{M_{el}(\Omega)} \rho(\Omega) + \frac{a^2}{\Gamma\sigma_0} I_0(\Omega) = 0. \quad (\text{П. 1})$$

В работе [4] это уравнение спектральной диффузии было решено в случае изотропного рассеяния, когда $M_{el}(\Omega) = L^2 k^2(\omega)/4 \sim \mathcal{J}^2(\Omega)$. Нас

интересуют более общие случаи функции $M_{el}(\Omega)$, и в частности изотропное пленение, когда $M_{el} \sim L^2 k^2(\Omega) / \ln(Lk(\Omega)/\pi)$. При этом уравнение (II. 1) в квадратурах уже не решается. Для нахождения асимптотики числа M при $Lk_0 \gg 1$ заметим, что функция $\rho(\omega)$ вследствие спектральной диффузии размывается тем сильнее, чем больше Lk_0 . Поэтому на фоне лоренцевского резонанса $\sigma(\Omega) = \tau_0 \mathcal{J}(\Omega)$ она оказывается практически постоянной (см. рис. 4, где $\rho(\Omega)$ показана в точно решаемом случае [4]). Тогда

$$M = \frac{\Gamma^2}{2} \int \rho(\Omega) \tau(\Omega) d\Omega \simeq \frac{\Gamma^2}{2} \rho(0) \int \tau(\Omega) d\Omega = \frac{\pi}{2} \Gamma^2 \tau_0 \rho(0). \quad (\text{II. 2})$$

В окрестности $\Omega = 0$ уравнение (II. 1) существенно упрощается

$$\frac{d^2 \rho(\Omega)}{d\Omega^2} - q^2 \rho(\Omega) + \frac{a^2}{\Gamma \tau_0} I_0(\Omega) = 0, \quad (\text{II. 3})$$

где $q^2 = a^2 / M_{el}(0)$. Отсюда

$$\rho(\Omega) = \frac{a^2}{2q\Gamma\tau_0} \int \exp[-q|\Omega - \Omega'|] I_0(\Omega') d\Omega' \xrightarrow{q \ll 1} \frac{a^2}{q\Gamma^2\tau_0} = \frac{a}{\Gamma^2\tau_0} M_{el}(0). \quad (\text{II. 4})$$

Из (II. 2) и (II. 4) находим асимптотику M при $q \ll 1$

$$M = \frac{\pi}{2} a \sqrt{M_{el}(0)} = \frac{\pi}{4} \frac{\Gamma}{\delta_{10c}} \frac{\Gamma}{\sqrt{\Gamma^{(-)}\Gamma^{(+)}}} \sqrt{M_{el}(0)}. \quad (\text{II. 5})$$

Отсюда видно, что под действием спектральной диффузии характер зависимости M от N^* меняется на корневой, причем в частном случае $M_{el}(\Omega) = L^2 k^2(\Omega) / 4$ формула (II. 5) совпадает с известным результатом [4].

В случае сильного магнитного поля имеем систему уравнений (8а), (8б), которая ввиду (11) сводится к

$$\frac{d}{d\Omega} \left(\mathcal{J}(\Omega) \frac{d}{d\Omega} \rho_1(\Omega) \right) - a^2 \frac{\gamma_1(\Omega) + \gamma_2(\Omega)}{2} \rho_1(\Omega) + \frac{a^2}{\Gamma \tau_0} I_0(\Omega) = 0, \quad (\text{II. 6})$$

где $\nu_- = \nu_+ = 1/2$. Применяя к (II. 6) те же рассуждения о разравнивании спектрального распределения фононов ρ в области резонанса, получаем

$$M = \frac{\pi}{4\sqrt{2}} \frac{\Gamma}{\delta_{10c}} \frac{\Gamma}{\sqrt{\Gamma^{(-)}\Gamma^{(+)}}} \frac{1}{\sqrt{\gamma_1(0) + \gamma_2(0)}}. \quad (\text{II. 7})$$

Приведем также результат для фактора пленения M в случае сильного внешнего магнитного поля с учетом обменного РКР, но без учета спектральной диффузии, что справедливо при $Lk_0 \frac{\Gamma^{(-)}}{\Gamma} \frac{\delta_{10c}}{\Gamma} < 1$. Пренебрегая в (II. 6) дифференциальным оператором, получаем

$$M = \frac{1}{2} \int \frac{\mathcal{J}(\omega)}{\gamma_1(\omega) + \gamma_2(\omega)} I_0(\omega) d\omega. \quad (\text{II. 8})$$

Представляется очевидным, что асимптотические формулы (II. 5) и (II. 7) в действительности верны не при всякой функции $M_{el}(\Omega)$. Для справедливости их, по-видимому, достаточно потребовать, чтобы она была колоколообразной.

Л и т е р а т у р а

- [1] Kaplyanskii A. A., Basun S. A. In: Nonequilibrium Phonons in Nonmetallic Crystals / Ed. W. Eisenmenger, A. A. Kaplyanskii. North-Holland, 1986, p. 373—453.
- [2] Левинсон И. Б. ЖЭТФ, 1978, т. 75, № 1, с. 234—248.
- [3] Басун С. А., Каплянский А. А., Шехтман В. Л. ЖЭТФ, 1982, т. 82, № 6, с. 1945—1963.
- [4] Малышев В. А., Шехтман В. Л. ФТТ, 1984, т. 26, № 4, с. 1016—1026.
- [5] Geschwind S., Devlin G. E., Cohen R. L., Chinn S. R. Phys. Rev., 1965, vol. 137A, N 4, p. 1087—1100.
- [6] Renk K. F. In: Nonequilibrium Phonons in Nonmetallic Crystals / Ed. W. Eisenmenger, A. A. Kaplyanskii. North-Holland, 1986, p. 317—372.

- [7] Басун С. А., Каплянский А. А., Шехтман В. Л. Письма в ЖЭТФ, 1979, т. 30, № 5, с. 275—279.
- [8] Kaplyanskii A. A., Basoon S. A., Shekhtman V. L. In Light Scattering in Solids / Ed. J. L. Birman, H. Z. Cummins, K. K. Rebane. New York: Plenum Press, 1980, p. 95—111.
- [9] Малышев В. А., Шехтман В. Л. Опт. и спектр., 1979, т. 46, № 4, с. 800—808.
- [10] Goossens R. J. G., Dijkhuis J. I., de Wijn H. W. Phys. Rev., 1985, vol. 32B, N 11, p. 7065—7075.

Поступило в Редакцию
19 декабря 1987 г.
